

## (184) 各種取鍋精錬炉における攪拌力と均一混合時間の比較

川崎製鉄 技術研究所 ○中西恭二 藤井徹也

## 1. 緒言

著者らは先に、VOD, ASEA-SKF および RH 炉内の混合特性をトレーサ法により求めた<sup>(1)~(3)</sup>。本報では、実測した均一混合時間が溶鋼へのエネルギーの供給速度によって統一的に説明できることを示す。また攪拌力の計算に問題を残すアルゴン・フラッシング法についてはモデル実験により補足した。

## 2. エネルギー供給速度の推定

(1) VOD 炉：攪拌は取鍋底部に設けたボーラス・プラグからのアルゴン・フラッシングによる。ガス気泡は浮力と膨張により溶鋼に仕事をする。実験<sup>(1)</sup>と同様に大気下での攪拌を想定すれば、単位時間に単位重量の溶鋼が、ガスから受けけるエネルギー  $\epsilon$  (watt/t) は、(1) 式で与えられる。ここに、 $Q$  はガス流量 (Nl/min),  $T$  は溶鋼温度 (°K),  $W_g$  は溶鋼重量 (t) および  $H$  は鍋浴深さ (cm) である。(1)式は、少なくとも 0.4 cm 以上の半径の気泡か、それより孤立して浮上する場合には比較的信頼できるが、ガス流量の増加と共に鎖状気泡となると、実際に溶鋼が受けけるエネルギーより大きな値を与えるものと思われる。

(2) ASEA-SKF 炉：攪拌は電磁誘導によるので、電磁場の方程式を解くことにより求まる。

(3) RH 炉：溶鋼の循環はアルゴンガス吹き込みによっている。しかし取鍋内溶鋼の攪拌は RH 下降管から連続的に排出される溶鋼流の運動エネルギーによっている。したがって取鍋溶鋼が受けけるエネルギー  $\epsilon$  (watt/t) は (2) 式から求まる。ここに、 $D$  は下降管内溶鋼の線速度 (m/sec),  $w$  は溶鋼の循環流量 (t/min) である。

これらの式を用いて算出した  $\epsilon$  値と実測した均一混合時間の関係を図 1 に示した。これより各装置について得られた均一混合時間では、単位時間に単位重量の溶鋼に供給されるエネルギー  $\epsilon$  によって、統一的に説明できることが明らかであり、両者は  $\propto \epsilon^{-0.45}$  の関係にある。

## 3. アルゴン・フラッシングのモデル実験

100 t 取鍋を 1/10 に縮尺して、水によるモデル実験を行なった。トレーサとして取鍋底に希硫酸を添加し、水面直下に浸漬した PH メータにより混合過程を連続的に追跡した。取鍋底に設けたボーラス・プラグから 1 ~ 4 Nl/min の Ar ガスを吹き込んだ際の均一混合時間を、(1) 式 (右辺の 1/48 を 1/1000 と置換して) により整理したところ、図 1 に示すように、現場プロセスとほぼ同じ関係が得られた。これはアルゴン・フラッシングの攪拌力を (1) 式で評価することか、きわめて妥当であることを支持する。

$$\epsilon = 0.0285 Q T \log [1 + (H/48)] / W_g \quad \dots \dots (1)$$

$$\epsilon = 0.00835 D^2 w / W_g \quad \dots \dots (2)$$

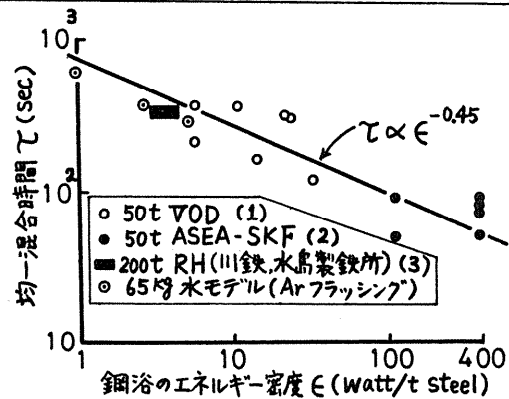


図 1 各種プロセス内均一混合時間と攪拌力

## 参考文献

- (1) 中西, 他 ; Preprints of ICTM, June (1973), p. 53~54.
- (2) 中西, 藤井 ; 本講演大会予稿
- (3) 木下, 他 ; 鉄と鋼, 57 (1971), S. 419.